

Figura 6.48 Vista tridimensional de la superficie de fluencia en el espacio de tensiones ( $p, q, s$ ). Representación esquemática del movimiento de la superficie de fluencia (LC) para los ensayos isótopos ISO-1 y ISO-2.

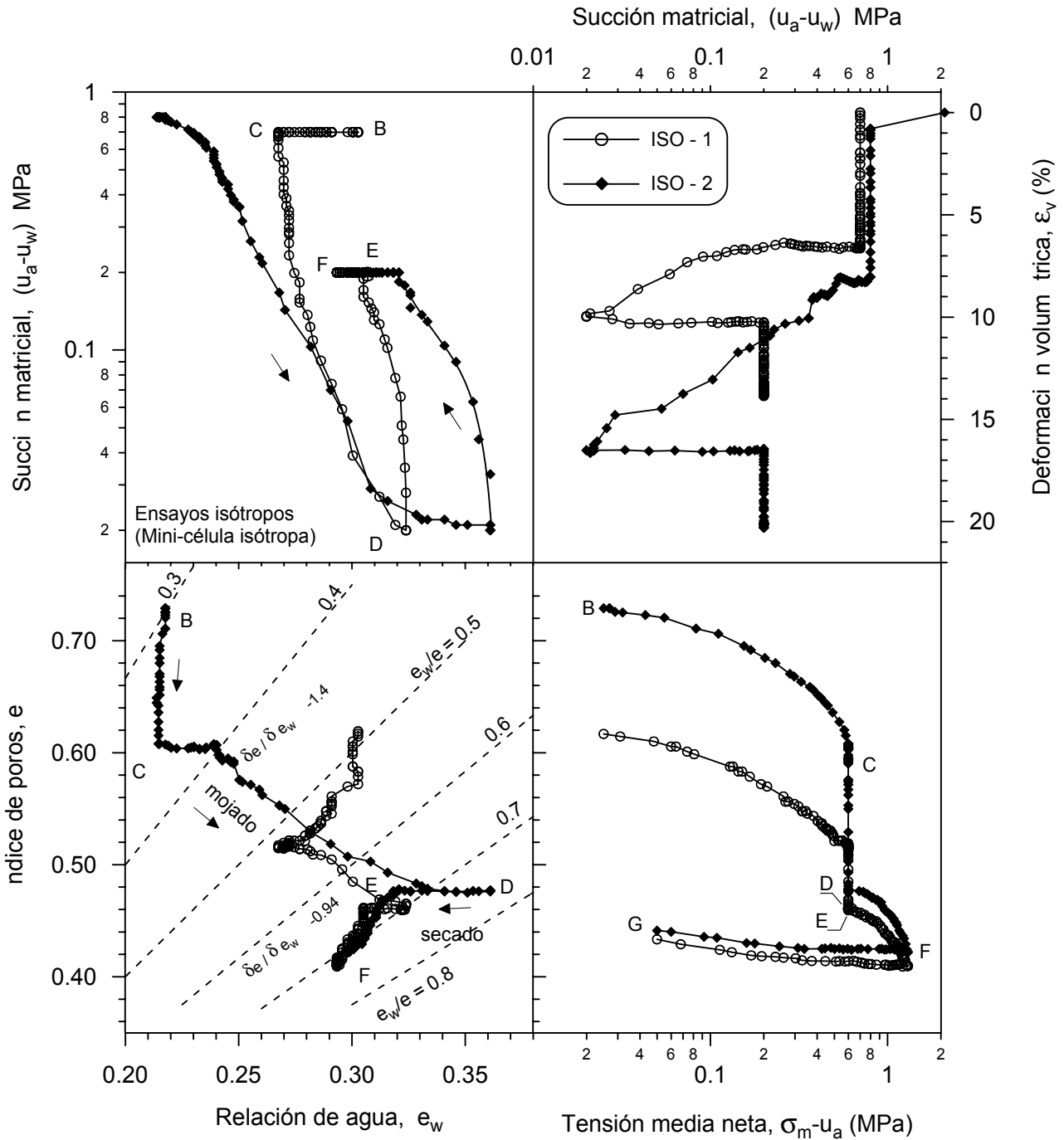


Figura 6.49 Resultados isotropos ISO-1 y ISO-2, en el plano  $\epsilon_v : s : e_w : e : \sigma_m - u_a$ .